

折返しのない良い写像 $f: S^3 \rightarrow M^3$ と

M^3 のハンドル分解

本間 龍雄

M^3 を有向閉 3-多様体, $f: S^3 \rightarrow M^3$ を 3-球面 S^3 から M^3 への折返しのない良い写像とする。 $h: S^3 \rightarrow [0, 1]$ は height function で, $h^{-1}(t) = S_t$ ($0 < t < 1$) は S^3 の同心球面, $h^{-1}(0) = S_0$ は南極, $S_1 = h^{-1}(1)$ は北極とする。 f と h を用いて, height function $\tilde{h}: M^3 \rightarrow [0, \alpha]$ ($0 < \alpha \leq 1$) と \tilde{h} による M^3 のハンドル分解を作る。

一般の位置の理論より, f, h は次の条件をみたすものとして良い。分岐曲線 $L = \{l_1, \dots, l_n\}$ は有限個の t に関する臨界点を除いて S_t と横断的に交わる。 L の像 $f(L) = \{f(l_1), \dots, f(l_n)\}$ は互いに交わらない閉曲線である。 $S^3 - L$ の点 p で f は局所同相で向きを保つ。 $q = f(p)$ における幾何的写像度 $\deg(q, f)$ は f の(代数的)写像度 $\deg f > 0$ と一致し, L の点 p の像 $q = f(p)$ においては $\deg(q, f) = \deg f - 1$ と存る。

$h^{-1}([0, t]) = B_t$, $h^{-1}([t, 1]) = B_t^c$ ($0 < t < 1$) はそれぞれ南極, 北極を中心とする 3-球面である。 $k = 0, \dots, \deg f$ のとき

$$G(k, t) = \mathcal{C}l \{q \in M^3 - f(L) \mid \deg(q, f|_{B_t}) = k\}$$

と定義すると, t の臨界値を除いて次式が成立する。

$$0 < k < \deg f \text{ ならば,}$$

$$bd(G(k, t)) \subset bd(G(k-1, t)) \cup bd(G(k+1, t))$$

また, $k = 0$, $\deg f$ のときは,

$$bd(G(0, t)) \subset bd(G(1, t))$$

$$bd(G(\deg f, t)) \subset bd(G(\deg f - 1, t))$$

さらに $G(0, t) = \text{cl}(M^3 - f(B_t))$ は単調に縮小する。

$\alpha (0 \leq \alpha \leq 1)$ は次式をみたすものとする。

$$G(0, t) \neq \emptyset, \quad 0 \leq t < \alpha$$

$$G(0, t) = \emptyset, \quad \alpha \leq t \leq 1$$

M^3 の height function $\hat{h}: M^3 \rightarrow [0, \alpha]$ を有限個の臨界点 (臨界値, 臨界点は Prop. 2 で定義する) を除いて, 次式で定義すると, M^3 のハンドル分解が可能となる。

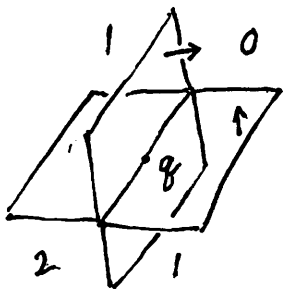
$$\hat{h}(bd(G(0, t))) = t$$

t が臨界値のときは, $f(B_{t-\epsilon})$ に 0, 1, 2, 3-ハンドルを加えて $f(B_{t+\epsilon})$ と同相となる。

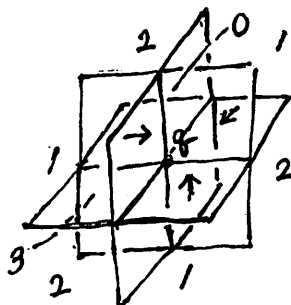
Proposition 1 t が臨界値でなければ, $bd(G(0, t))$ は有向閉曲面, 従って M^3 は $bd(G(0, t))$ により $G(0, t)$ と $f(B_t)$ に分けられる。

証明 t が臨界値でないから, $f(S_t)$ の横断的に交わる点 g と分岐曲線の極大点, 極小点以外の点の像 g の近傍を確かめれば良い。下の図によつて $bd(G(0, t))$ は有向閉曲面である。図の数字は $G(t, t)$ の長であり, 矢印は t の増加する方向を示す。

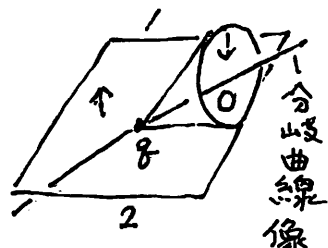
証明終り



2重点の近傍



3重点の近傍



分岐点像の近傍

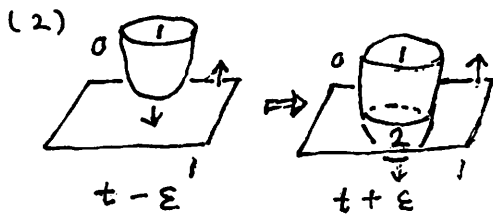
Proposition 2 有限個の臨界値 t において, 各々一個のハンドルが生じる。

証明 $f(B_{t-\epsilon})$ にハンドルを加えて $f(B_{t+\epsilon})$ と同相に作る。0-ハンドルと3-ハンドルの場合は, height function の定義 $\tilde{h}(bd(G(0,t))) = t$ において, 境界 $bd(G(0,t))$ 上に臨界点が決まるないので, 極限を用いて臨界点を定める。

a) 0-ハンドルは $t=0$ のみに生じ, 南極 S_0 の像 $f(S_0)$ が臨界点となるが, $G(0,0) = M^3$, 従って $bd(G(0,0))$ は空集合となり, $f(S_0)$ を含まない。故に $t=0$ における臨界点は $\lim_{\epsilon \rightarrow 0} (bd(G(0,\epsilon))) = f(S_0)$ で定義する。

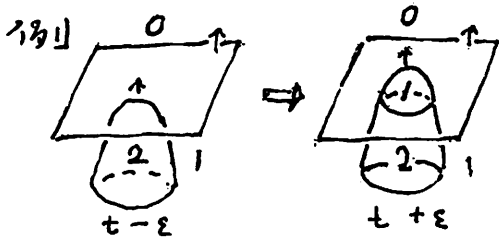
b) a) と同様で, $t=2$ 3-ハンドルが生じ, ρ が臨界点のときは $\lim_{\epsilon \rightarrow 0} bd(G(0,t-\epsilon)) = \rho$ で定義する。

(1) $t=0$, $f(S_0) = 0$ -ハンドルが生じる。

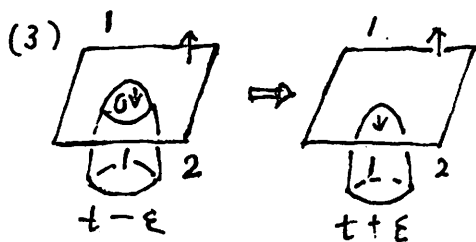


1-ハンドルが生じる。数字は幾何的写像度数を表わし, 矢印は t の増加する方向を表わす。

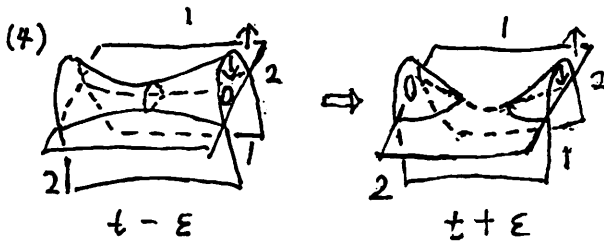
表わす。



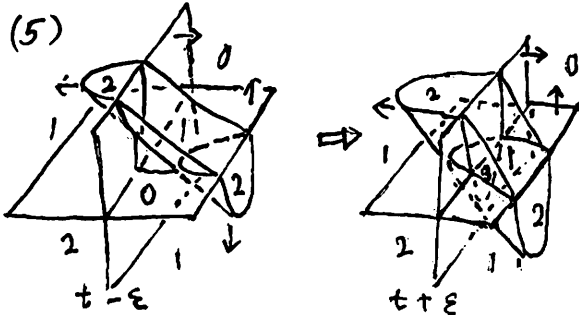
ハンドルは生じない。矢印が同方向の場合は $G(0,t-\epsilon)$ と $G(0,t+\epsilon)$ は同相である。



3-ハンドルが生じる。

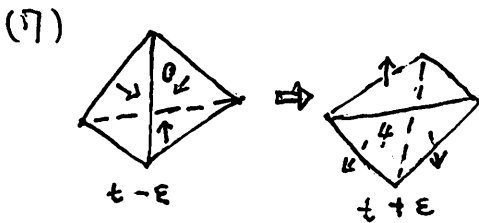


2-ハンドルが生じる。



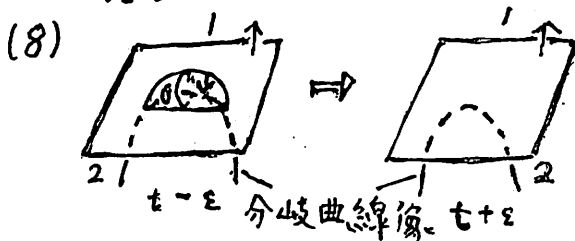
2-ハンドルが生じる。 $G(0, t-\epsilon)$ は $G(0, t+\epsilon)$ になると、 \Rightarrow の領域に分離する。

(6) (5)の図においてすべての矢印 (\rightarrow, \Rightarrow) が逆になると、3-ハンドルが生じる。(5)の右側の $G(3, t+\epsilon)$ が(6)では3-球 $G(0, t-\epsilon)$ となり、 $t+\epsilon$ で消えるので、3-ハンドルが生じる。

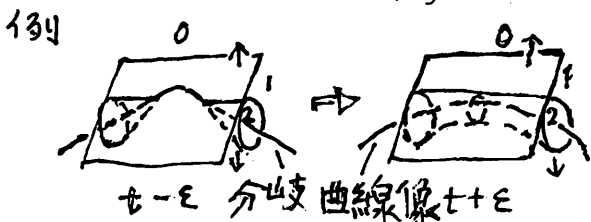


臨界値 t に4重点があり、 $G(0, t-\epsilon)$ は四面体で4面の矢印がすべて内向きなる3-ハンドルとなる。それ以外の4重点はハ

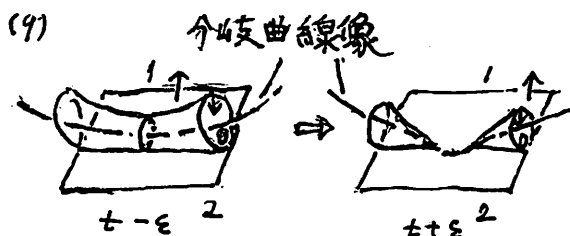
ンドルでない。



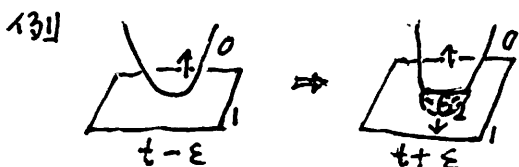
臨界値 t に分岐曲線の極大点の像があるとき3-ハンドルが生じる



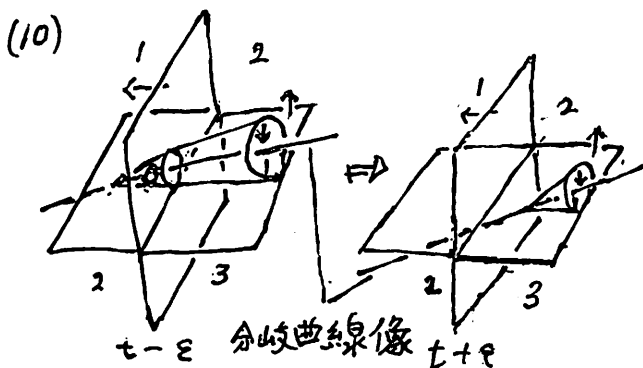
かに分岐曲線の極大点の像があつても、図のような場合は $G(0, t-\epsilon)$ と $G(0, t+\epsilon)$ が同相であるから、 t は臨界点でない。



t に分岐曲線の極小点の像がある図のような場合は、2-ハンドルが生じる。



分岐曲線の極小点の像があつても図の場合はハンドルは生じない。



臨界値 t で分岐曲線像と交叉曲線が交わる場合に、3-球の $G(0, t-\epsilon)$ が消えるので、3-ハンドルが生じる。

Proposition 2 の証明 終り

$G(0, t)$ ($0 \leq t \leq 1$) が単言周に縮小することが非常に大切である。 M^3 がホモトピー-3-球面の場合は height function $h: S^3 \rightarrow [0, 1]$ を S^3 の ambient isotopy で修正して、 $\tilde{h}: M^3 \rightarrow [0, \alpha]$ のハンドルをキャンセルし、臨界値を $0, \alpha$ のみにし、 0 で 0-ハンドル、 α で 3-ハンドルを生じさせることを目標とする。

参考文献

[1] 本間 龍雄：幾何学的トポロジー，共立出版 (21世紀の数学) 1999。

[2] 本間 龍雄：折返しをもたない良い写像について，HAKONE SEMINAR Vol. 16, 2000。